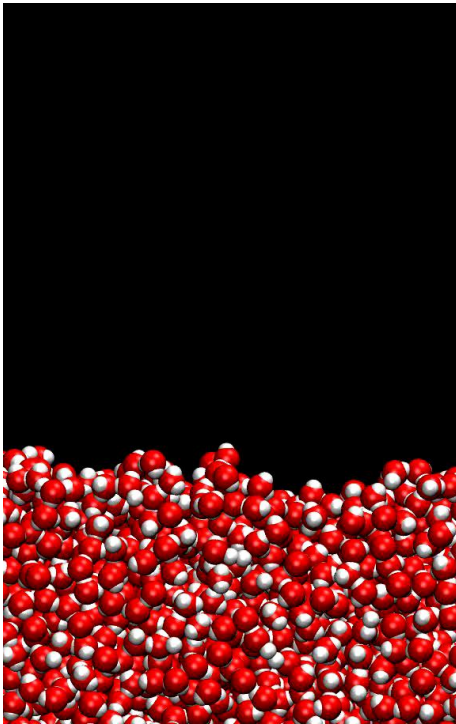




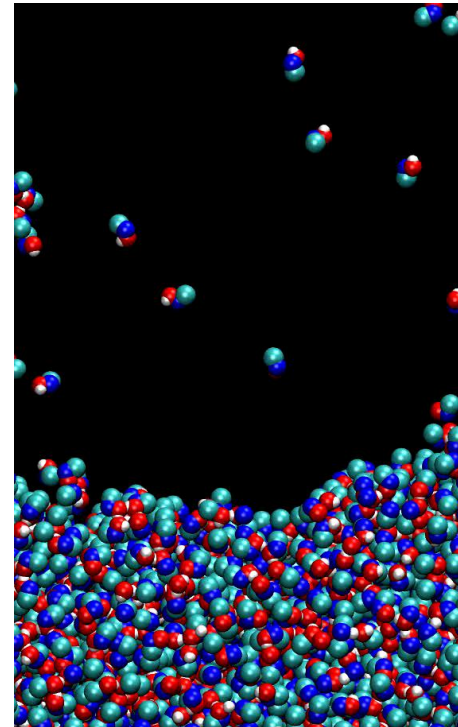
# Conception aux petites échelles (échelles nanométriques)

- I. Discrétisation de la matière
- II. Forces d'Adhésion
- III. Rugosité à petite échelle
- IV. Effet Tunnel (mécanique quantique)
- V. Enjeux éthiques des nanosciences et des nanotechnologies

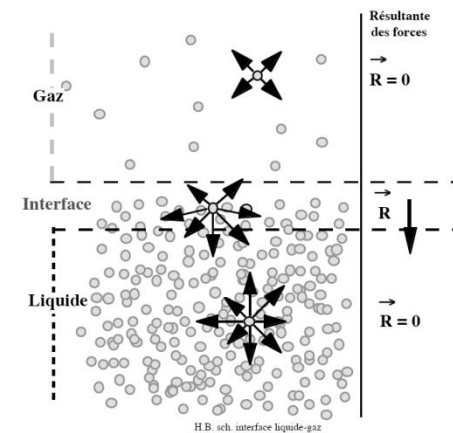
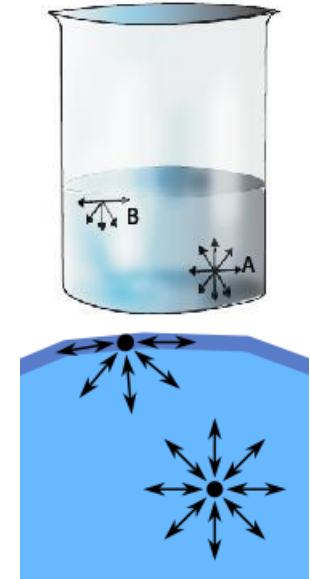
## Surface Tension



Water  $\gamma(20^\circ\text{C})=72.8 \text{ mN/m}$



Ethanol  $\gamma(20^\circ\text{C})=22.10 \text{ mN/m}$





## Forces d'Adhésion

1) Origine Physique des Forces d'Adhésion

2) Combinaison Adhésion / Déformation mécanique: JKR vs. DMT



## Forces d'Adhésion

### 1) Origine Physique des Forces d'Adhésion

### 2) Combinaison Adhésion / Déformation mécanique: JKR vs. DMT



<b>Matériau</b>	<b>Energie de surface 20°C (mJ.m<sup>-2</sup>)</b>	<b>Matériau</b>	<b>Energie de surface 20°C (mJ.m<sup>-2</sup>)</b>
<b>Téflon</b>	<b>18</b>	<b>Plexiglas</b>	<b>40.6</b>
<b>Polystyrène</b>	<b>33-43</b>	<b>Verre</b>	<b>170</b>
<b>Aluminium</b>	<b>1100</b>	<b>Silicium</b>	<b>1400</b>
<b>Argent</b>	<b>1500</b>	<b>Cuivre</b>	<b>2000</b>

L'énergie de surface est liée aux forces d'interaction interatomiques

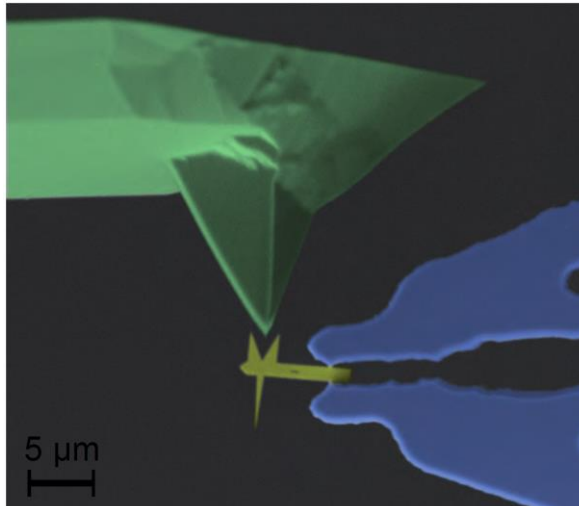


## Longueur Caractéristique

$$E_{Elasticité} \approx ER^3$$

$$E_{Surface} \approx 4\pi\gamma R^2$$

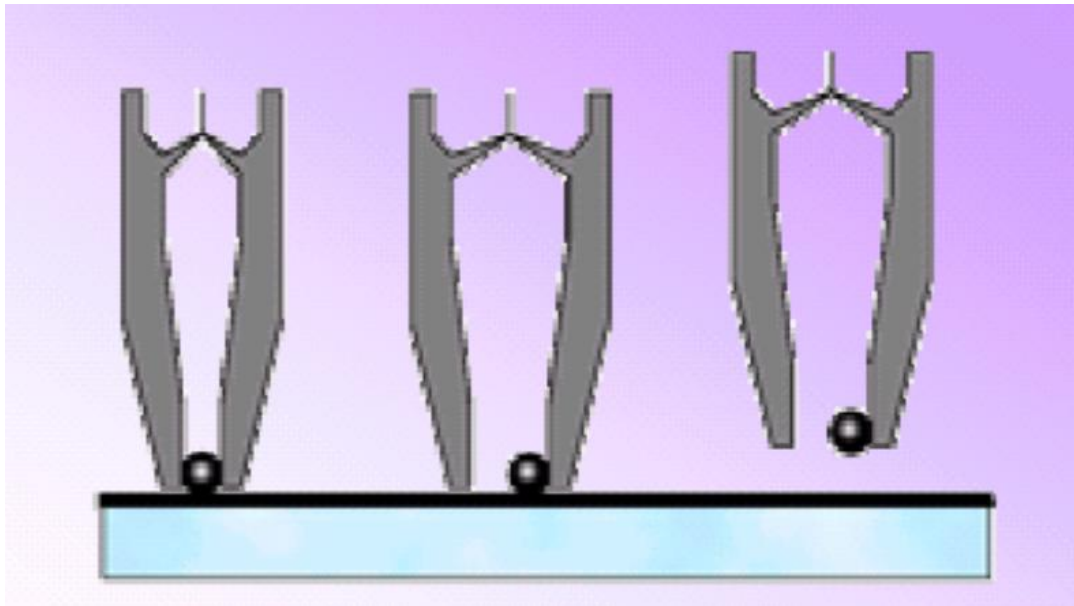
$$E_{Elasticité} \approx E_{surface} \Leftrightarrow R \approx \frac{4\pi\gamma}{E} \approx 100nm$$



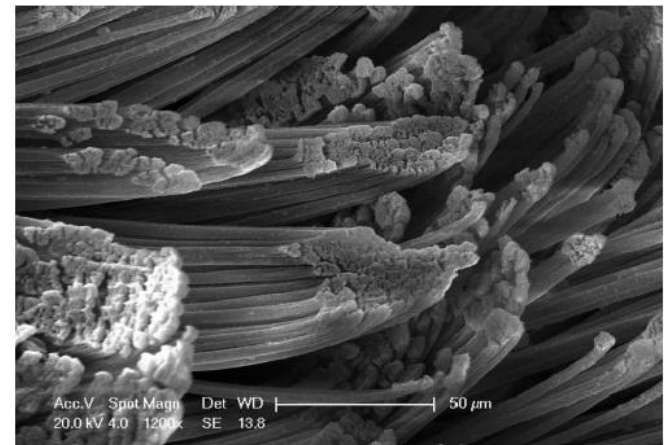
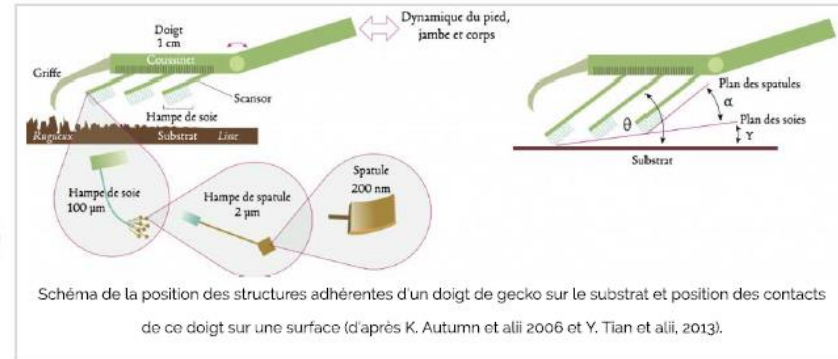




Laboratoire de Mécanique des Contacts et des Structures



## L'exemple du Gecko

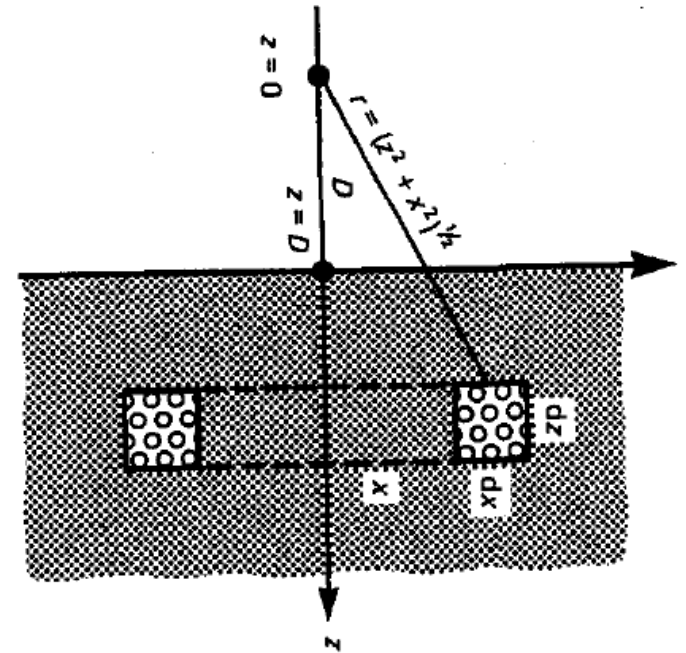
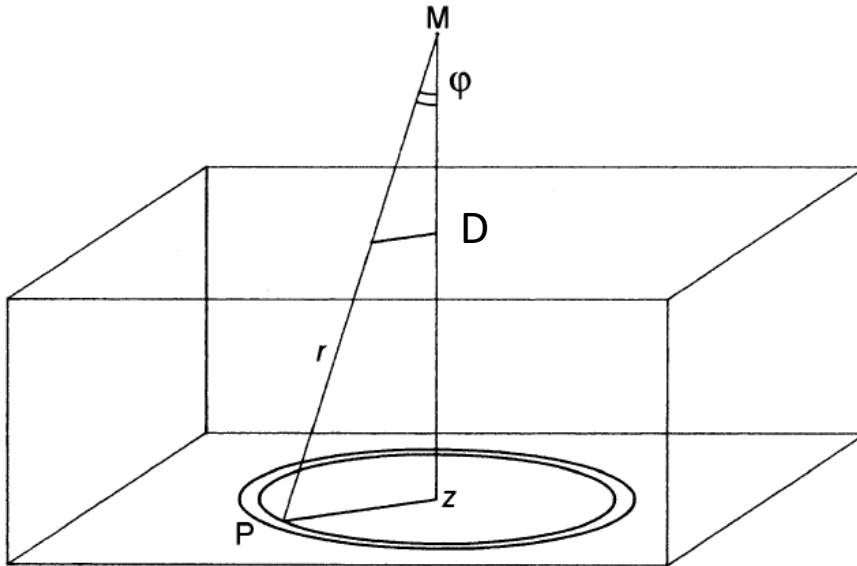


Détail des soies spatulées à leur extrémité en microscopie





Interaction Atome / Milieu Semi-Infini

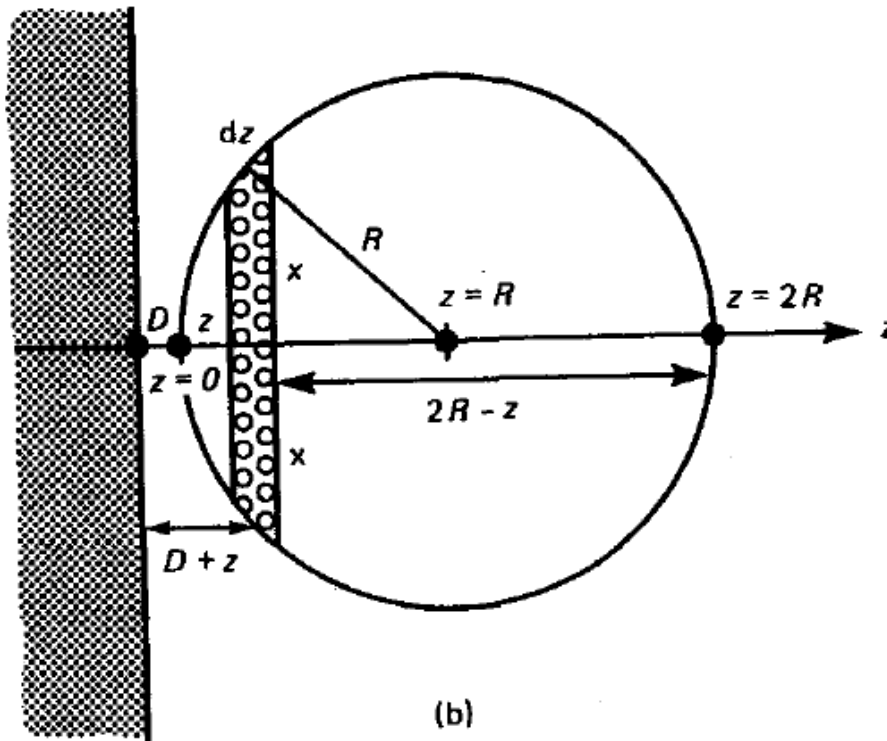


$$E_{\text{individuel}}(d) = \frac{B}{d^m} \Rightarrow E_{\text{total}}(D) = \int_{z=D}^{\infty} dz \int_{r=0}^{\infty} dr \frac{B}{(r^2 + z^2)^{m/2}} 2\pi r \Rightarrow E_{\text{total}}(D) = \frac{B}{D^m} \frac{2\pi \rho D^3}{(m-2)(m-3)} \propto \frac{B}{D^{m-3}}$$

L'effet de volume contribue à augmenter la portée des interactions



Interaction Sphère/Plan



$$R \gg D \quad (z \approx D)$$

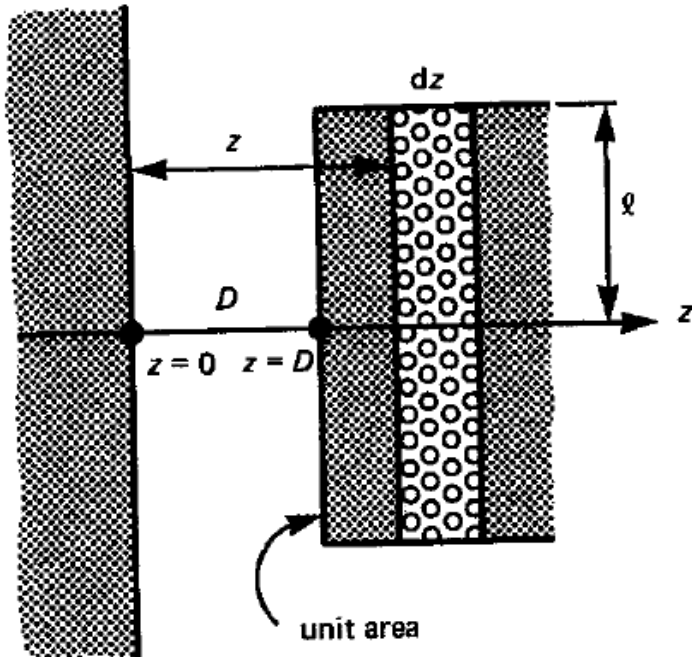
$$E_{total}(D) = \frac{B}{D^m} \frac{4\pi^2 \rho_1 \rho_2 R D^5}{(m-2)(m-3)(m-4)(m-5)}$$

$$R \ll D$$

$$E_{total}(D) = \frac{B}{D^m} \frac{2\pi \rho_1 D^3}{(m-2)(m-3)} \frac{4}{3} \pi R^3 \rho_2$$

(N particules concentrées en un point)

Interaction Plan/Plan (Hamaker, 1937)



$$E_{total-Plan}(D) = S \cdot \frac{B}{D^m} \frac{2\pi\rho_1\rho_2 D^4}{(m-2)(m-3)(m-4)}$$

$$\gamma = 1/2 \cdot E_{total-Plan}(D) / S = \text{Tension de surface}$$

$$E_{totalSphère/Plan}(D, R) = \frac{S_{eff}}{S} E_{total-Plan}(D)$$

$$\text{si } R \gg D \quad S_{eff} = \frac{2\pi}{(m-5)} RD; \quad \text{si } R \ll D \quad S_{eff} = \frac{4\pi(m-4)}{3} \frac{R^3}{D}$$

$$E_{total-Plan}(D) = -\frac{S}{2\pi R} \frac{\partial E_{totalSphère/Plan}(D, R)}{\partial D}$$

$$E_{total-Plan}(D) = \frac{S}{2\pi R} F_{totalSphère/Plan}(D, R)$$

$$\Rightarrow F_{totalSphère/Plan}(D, R) = 2\pi R \cdot E_{total-Plan}(D) / S = 4\pi R \gamma$$

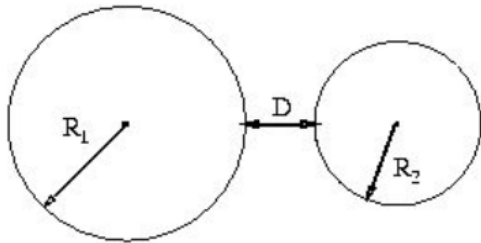
$$\approx F_{Sphère/Sphère}(D, R) \quad (\text{approx. Derjaguin})$$



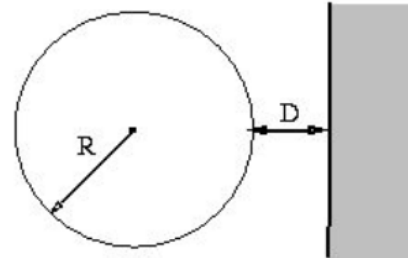
## Influence de la Géométrie du Contact

Exemple d'interactions de **van der Waals** ( $m=6$ )

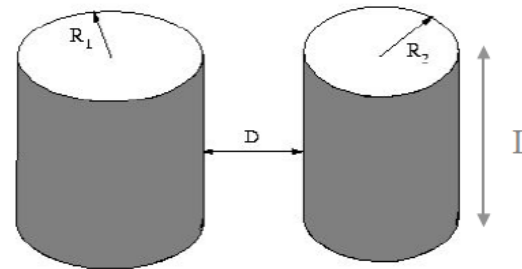
$D \ll R$



$$W = -\frac{A}{6D} \frac{R_1 R_2}{(R_1 + R_2)}$$

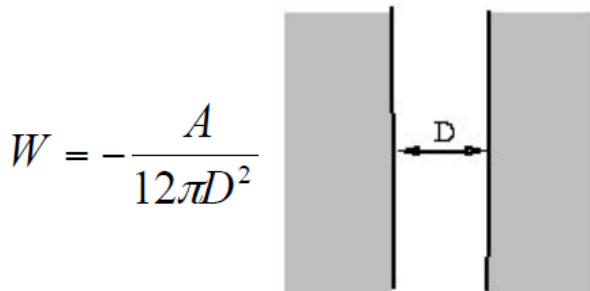


$$W = -\frac{AR}{6D}$$



$$W = -\frac{AL}{12\sqrt{2}D^{3/2}} \left( \frac{R_1 R_2}{(R_1 + R_2)} \right)^{3/2}$$

$$F = \frac{\partial W}{\partial D}$$



$$W = -\frac{A}{12\pi D^2}$$





Constantes de Hamaker

<p>Two atoms</p> <p><math>w = -C/r^6</math></p>	<p>Two spheres</p> <p><math>W = \frac{-A}{6D} \frac{R_1 R_2}{(R_1 + R_2)}</math></p>
<p>Atom-surface</p> <p><math>w = -\pi C \rho / 6D^3</math></p>	<p>Sphere-surface</p> <p><math>W = -AR/6D</math></p>
<p>Two parallel chain molecules</p> <p><math>W = -3\pi CL / 8\sigma^2 r^5</math></p>	<p>Two cylinders</p> <p><math>W = \frac{AL}{12\sqrt{2} D^{3/2}} \left( \frac{R_1 R_2}{R_1 + R_2} \right)^{1/2}</math></p>
<p>Two crossed cylinders</p> <p><math>W = -A\sqrt{R_1 R_2} / 6D</math></p>	<p>Two surfaces</p> <p><math>W = -A / 12\pi D^2</math> per unit area</p>

Cas d'interactions de **van der Waals** ( $m=6$ )

$D \ll R$

Constante de **Hamaker** (J)

$$A = \pi^2 B \rho_1 \rho_2$$

Medium	$C$ ( $10^{-79} \text{ J m}^6$ )	$\rho$ ( $10^{28} \text{ m}^{-3}$ )	$A$ ( $10^{-19} \text{ J}$ )
Hydrocarbon	50	3.3	0.5
<chem>CCl4</chem>	1500	0.6	0.5
<chem>H2O</chem>	140	3.3	1.5





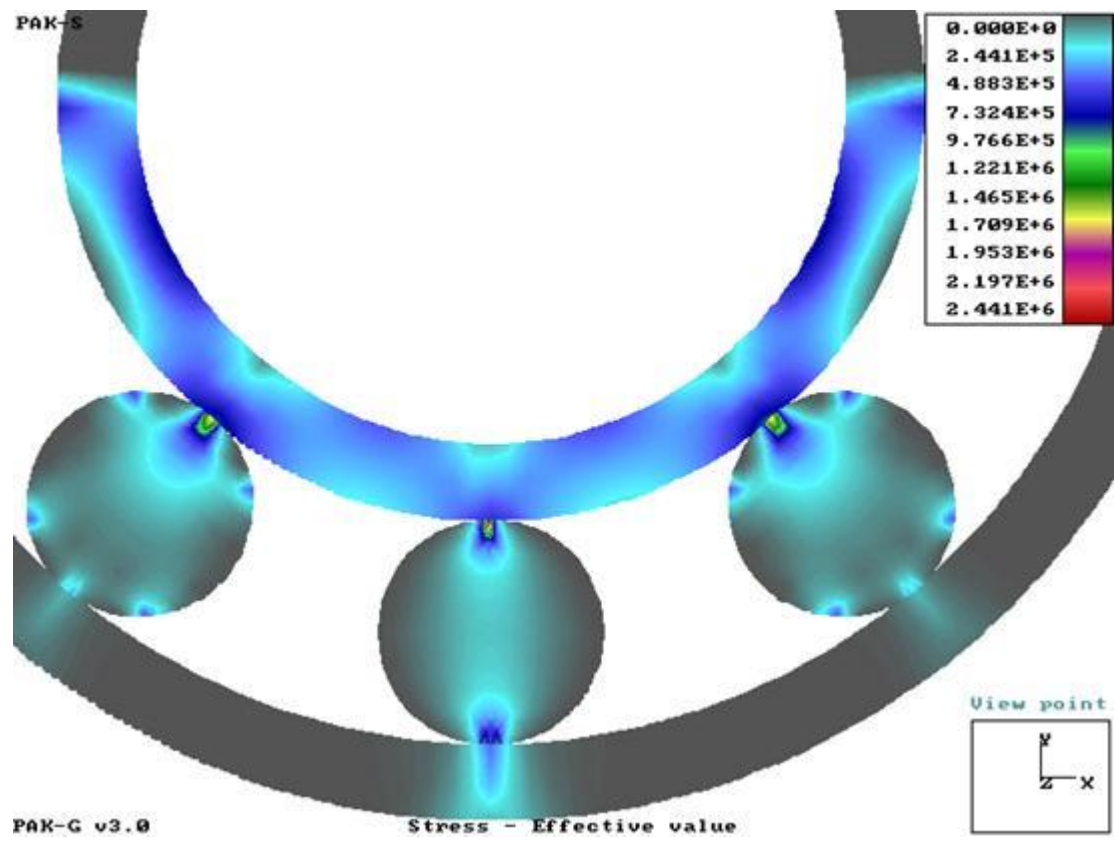
## Forces d'Adhésion

1) Origine Physique des Forces d'Adhésion

2) Combinaison Adhésion / Déformation mécanique: JKR vs. DMT

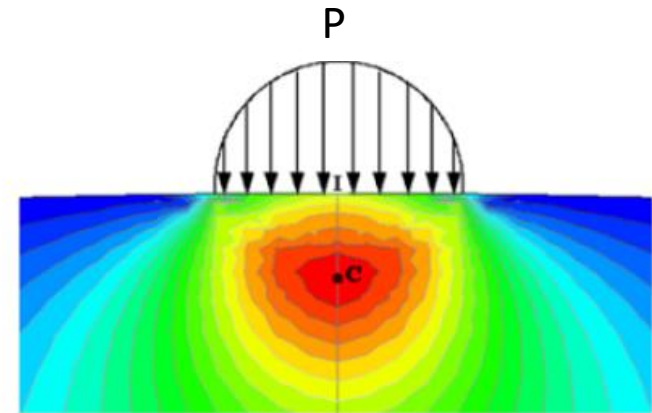
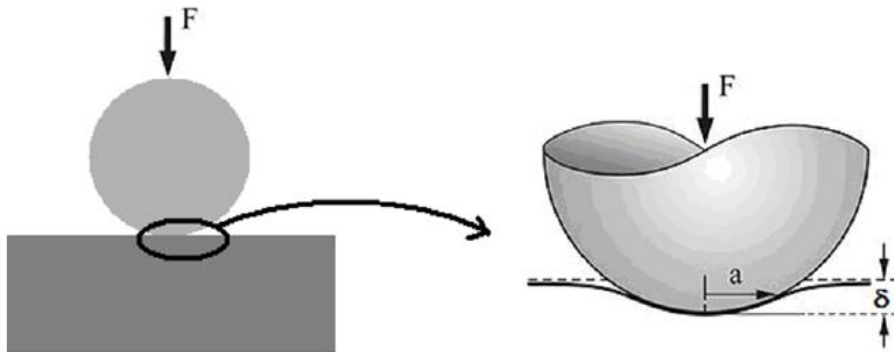


Cas d'une **déformation Elastique** dans un contact **sans Adhésion**





## Contact Elastique de Hertz



$$F_z = \frac{4}{3} E^* R^2 \left( \frac{\delta}{R} \right)^{3/2} \quad \delta \ll R$$

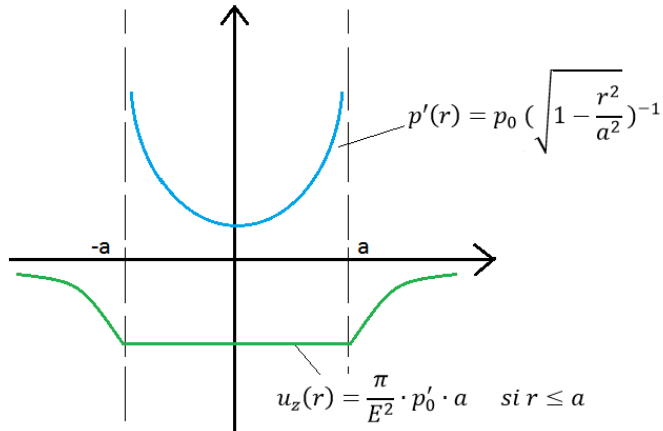
$$a = \sqrt{R\delta} = R \left( \frac{3}{4E^* R^2} F_z \right)^{1/3}$$

$$p(r) = P \sqrt{1 - \frac{r^2}{a^2}}; \quad u_z(r) = \frac{\pi P a}{4E^*} \left( 2 - \frac{r^2}{a^2} \right)$$



**Avec Adhésion:**

**Théorie de Johnson-Kendall-Roberts**



$$E_{\text{élastique}} = U_E = \frac{1}{2} \int_{r=0}^a p(r) * 2\pi r * dr * u_z(r),$$

$$\text{avec } p(r) = p_{\text{hertz}} + p_{\text{adhésion}} = p_0 \sqrt{1 - \frac{r^2}{a^2}} + p'_0 \left(1 - \frac{r^2}{a^2}\right)^{-1}$$

$$\text{donc } E_{\text{élastique}} = \frac{\pi^2 a^3}{E^*} \left( \frac{2}{15} p_0^2 + \frac{2}{3} p_0 p'_0 + p_0'^2 \right)$$

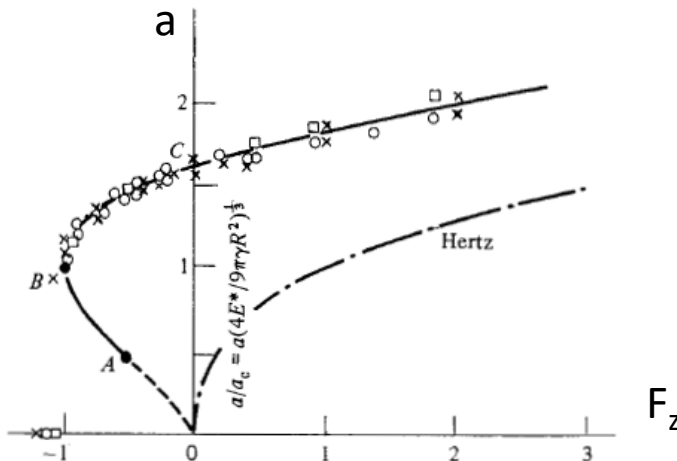
$$\text{et } E_{\text{adhésion}} = -2\gamma\pi a^2$$

$$\left[ \frac{\partial E_{\text{total}}}{\partial a} \right]_{\delta \text{ imposé}} = 0,$$

$$\text{avec } p_0 = \frac{2aE^*}{\pi R} \text{ donc } p'_0 = -\sqrt{\frac{4\gamma E^*}{\pi a}}.$$

$$F_z = \int_{r=0}^a p(r) * 2\pi r dr$$

$$\left( F_z - \frac{4E^* a^3}{3R} \right) = -4\sqrt{\pi\gamma E^*} \cdot a^{3/2}$$



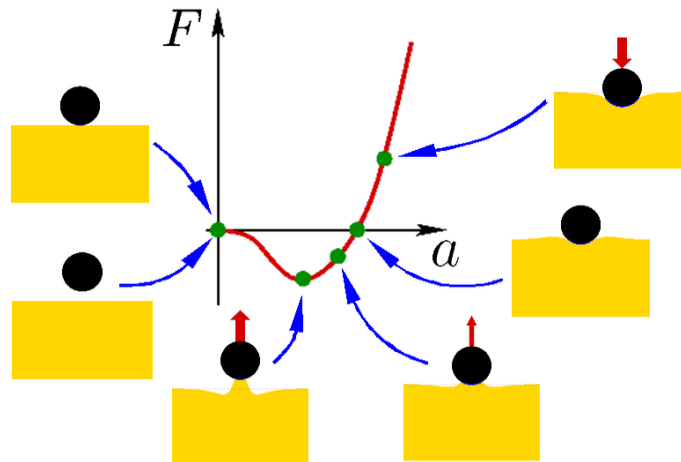


Avec Adhésion:

Théorie de Johnson-Kendall-Roberts

$$F_{Elasticité} \approx \frac{4E^* a^3}{3R} \quad F_{Adhésion} \approx -4\sqrt{\pi\gamma E} a^{3/2}$$

$$F_{Elasticité} \approx F_{Adhésion} \Leftrightarrow \frac{a^3}{R^2} \approx \frac{9\pi\gamma}{E} \approx 200nm$$



$$F_z^{\max} = -3\pi R\gamma$$

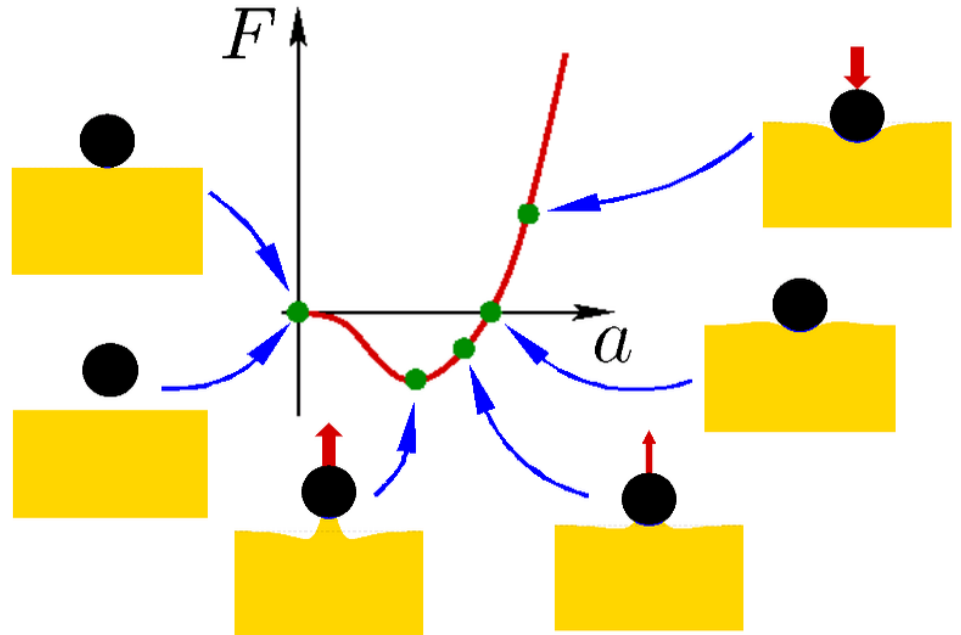
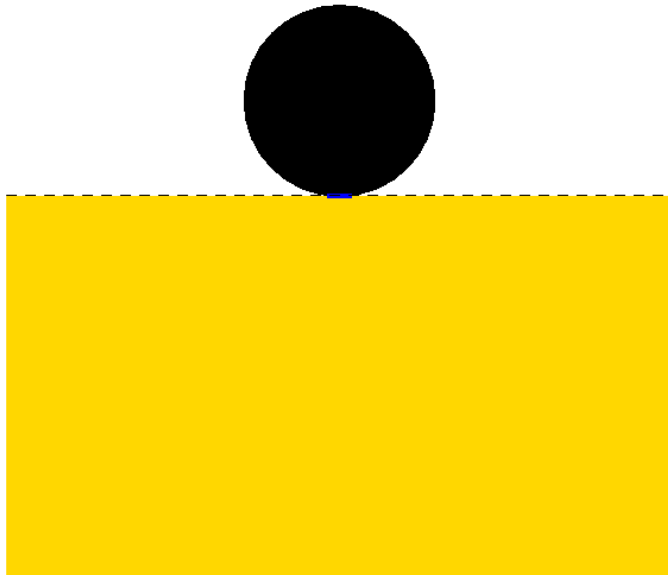
Solides **déformables** avec adhésion  
dans le **contact** uniquement





Avec Adhésion:

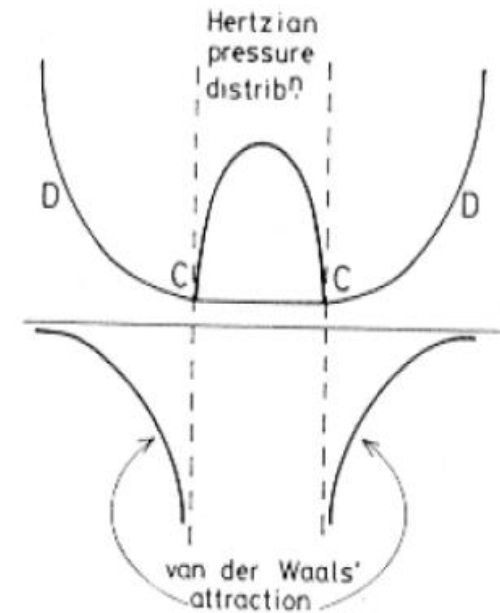
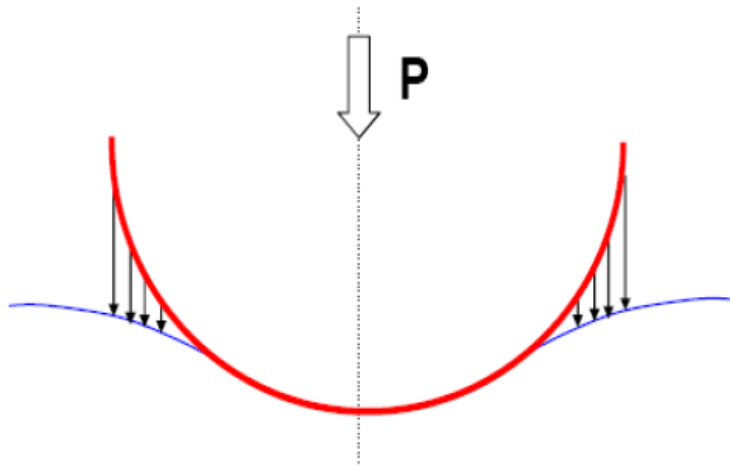
Théorie de Johnson-Kendall-Roberts





Avec Adhésion:

Théorie de Derjaguin-Müller-Toporov



$$F_z^{\max} = -4\pi R\gamma \quad \text{si } R_2 \gg R$$

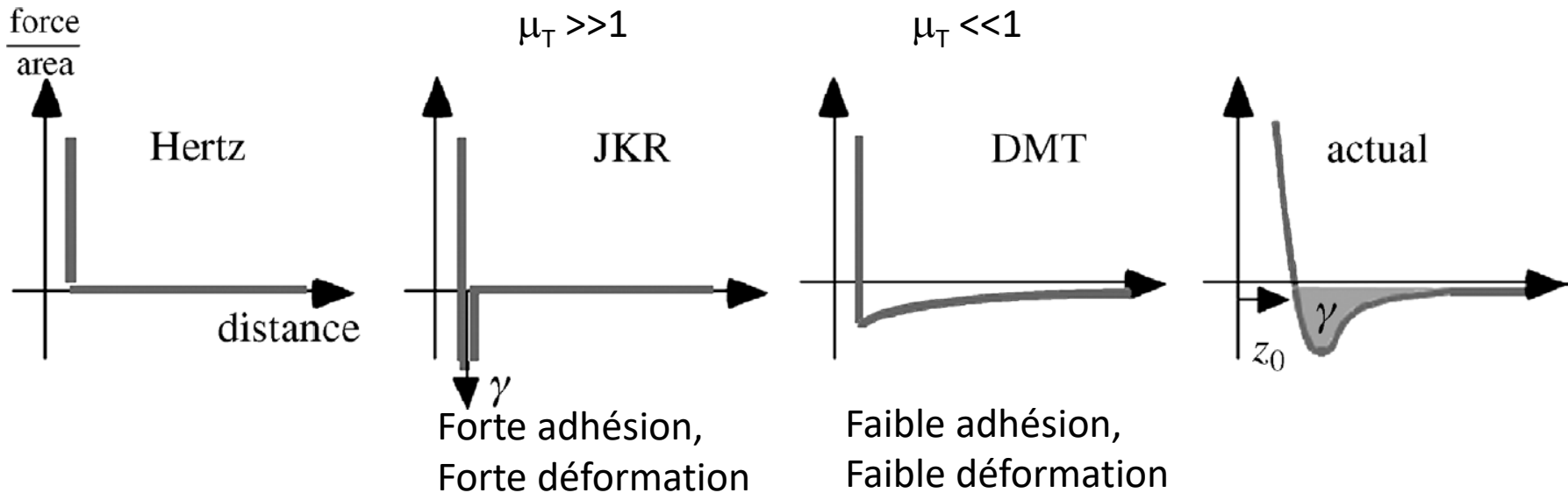
Cas de solides **peu déformables** avec une adhésion de **longue portée**



Avec Adhésion:

Paramètre de **Transition** (Tabor)

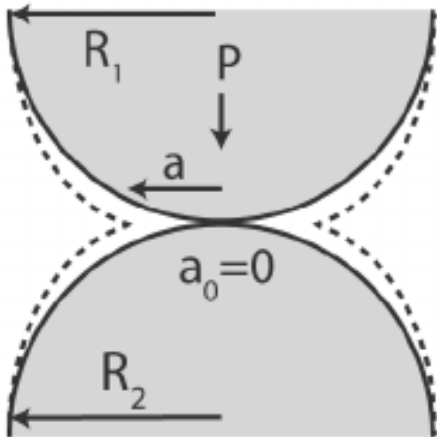
$$\mu_T = \left( \frac{16R\gamma^2}{9K^2z_0^3} \right)^{1/3}$$



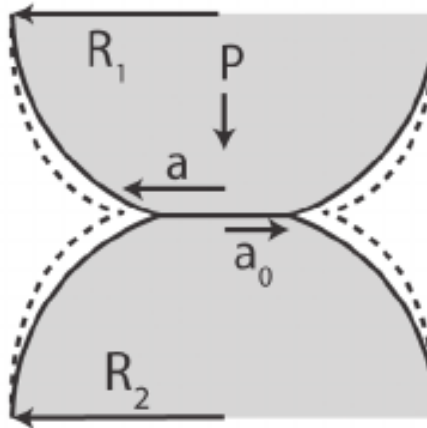


Avec Adhésion:

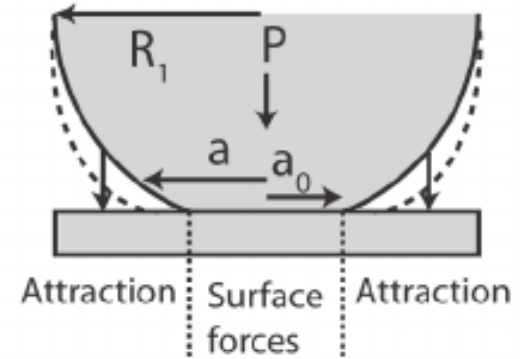
(a) Hertz



(b) JKR

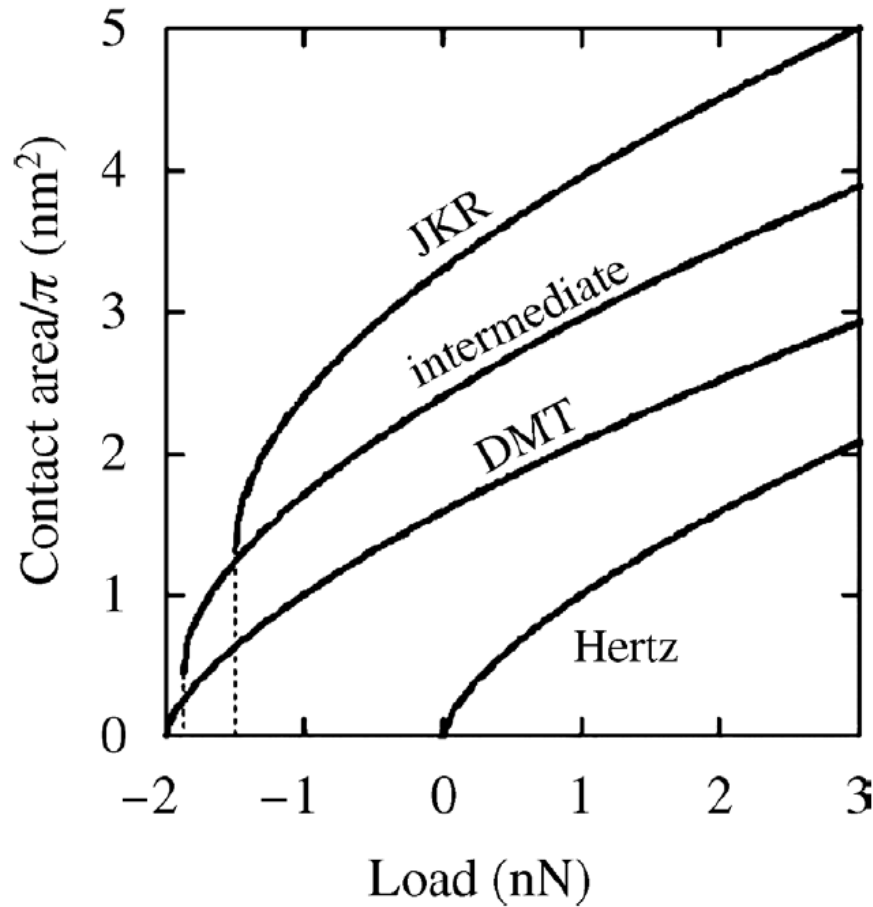


(c) DMT





Avec Adhésion:

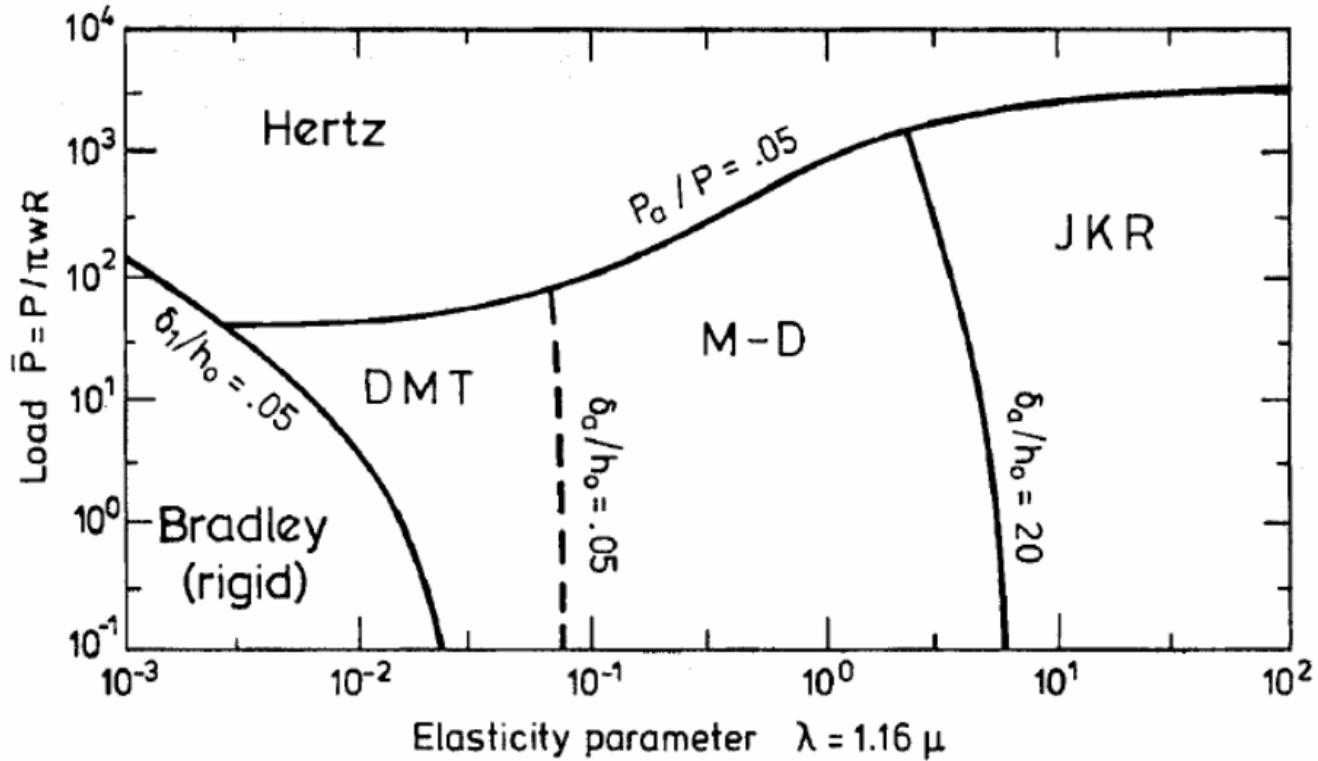


$K=1 \text{ GPa}$  ;  $R=1 \text{ nm}$  ;  $\pi\gamma=1 \text{ J/m}^2$





Avec Adhésion:





## Take Home Message Partie II:

L'origine microscopique des forces d'adhésion réside dans les forces interatomiques.

La description continue simplifiée de l'élasticité en présence d'adhésion nécessite de faire des approximations.

On distingue 2 modélisations extrêmes:

le modèle de **Johnson-Kendall-Roberts**

et

le modèle de **Derjaguin-Müller-Toporov**



# Conception aux petites échelles (échelles nanométriques)

- I. Discrétisation de la matière
- II. Forces d'Adhésion
- III. Rugosité à petite échelle
- IV. Effet Tunnel (mécanique quantique)
- V. Ethique et Respect de l'Environnement



## Surface vicinale

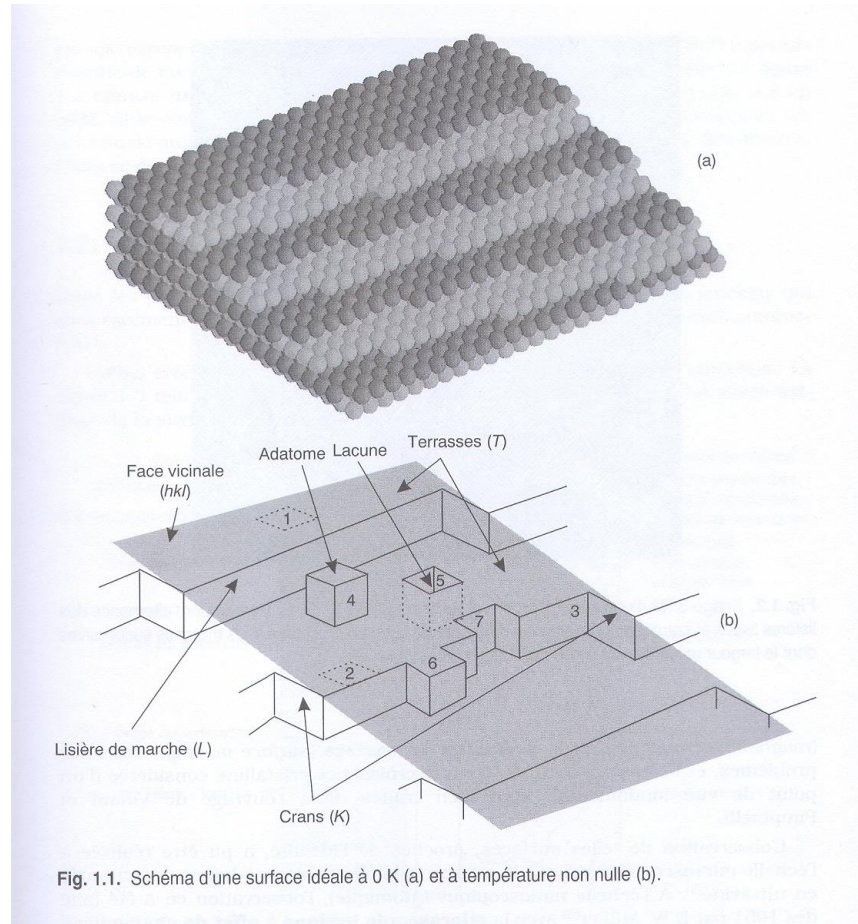
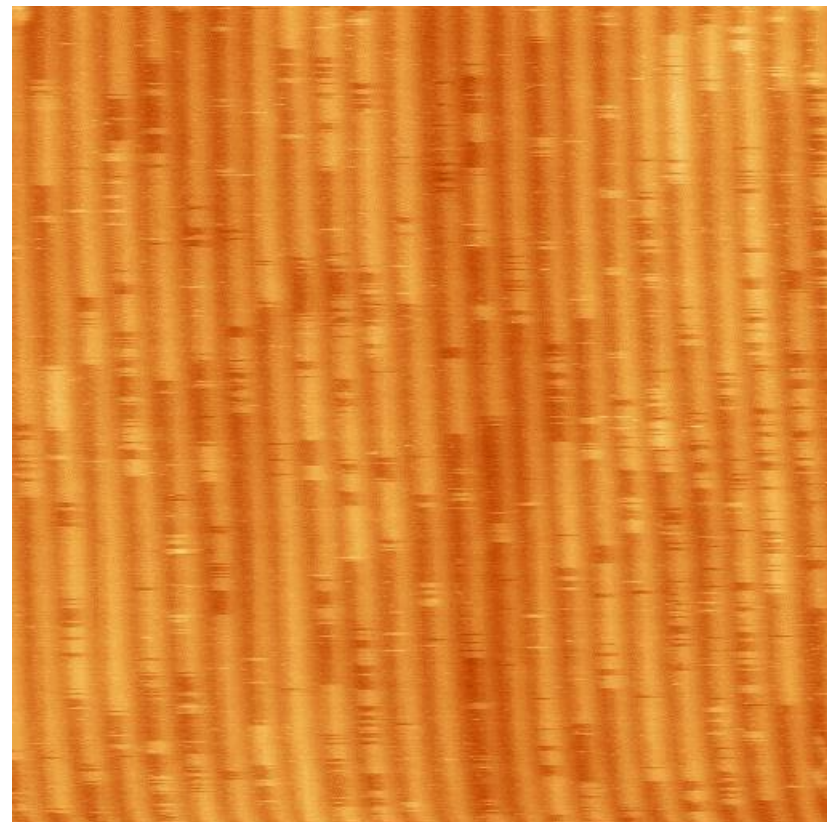






Figure 1.1. Marches [110] sur la face (001) du silicium. Largeur des terrasses : environ 100 Å. Remarquer l'alternance de marches d'allure différente (cf. chap. 9).  
Technique expérimentale : microscopie tunnel à balayage (STM). (Lagally et al. 1990, avec l'aimable autorisation des auteurs).





Transition Rugueuse Au (233) 395°K

Surface réelle

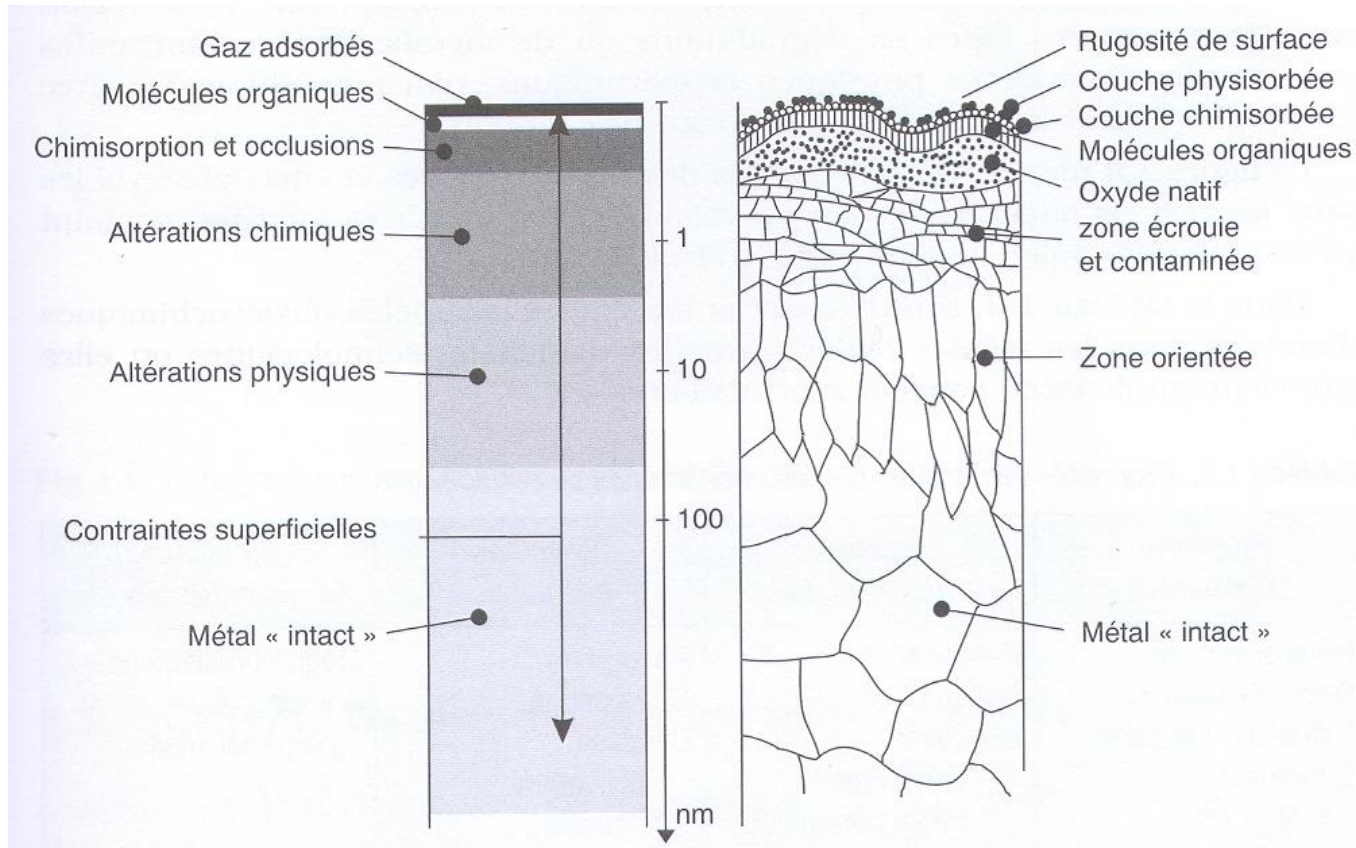


Fig. 1.3. Structure microscopique de la surface d'un métal usiné.



## Self-Affine surfaces

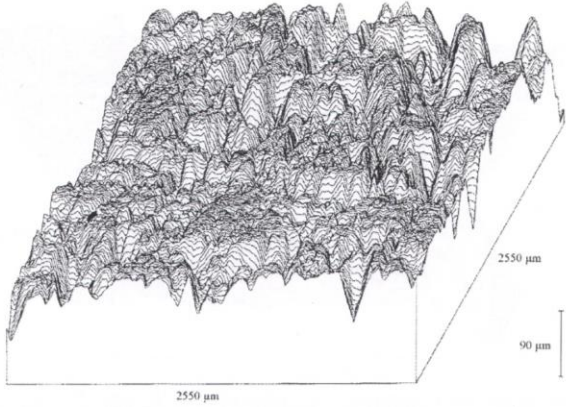


Figure 2.11: Image 3D de l'échantillon d'alumine/graphite rugueux avec un pas de  $10\ \mu\text{m}$

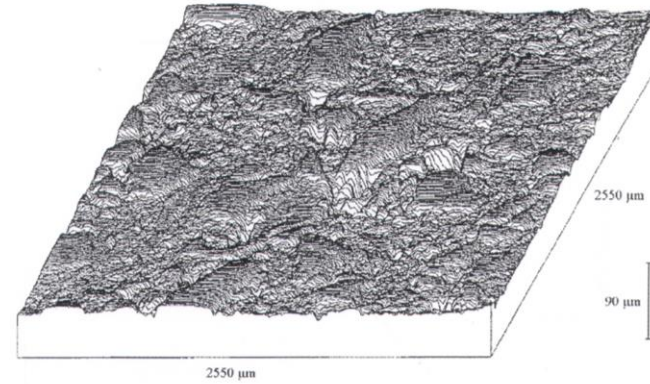


Figure 2.15: Image 3D de l'échantillon d'alumine/graphite poli avec un pas de  $10\ \mu\text{m}$

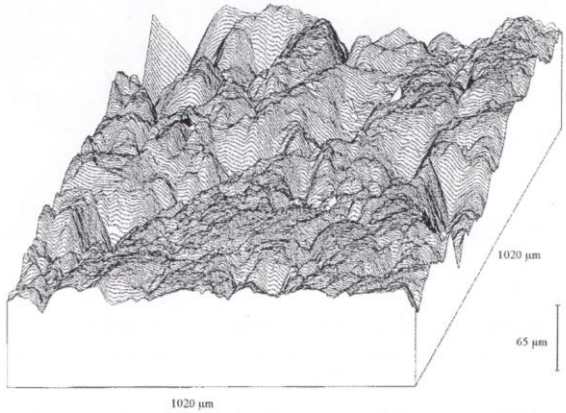


Figure 2.12: Image 3D de l'échantillon d'alumine/graphite rugueux avec un pas de  $4\ \mu\text{m}$

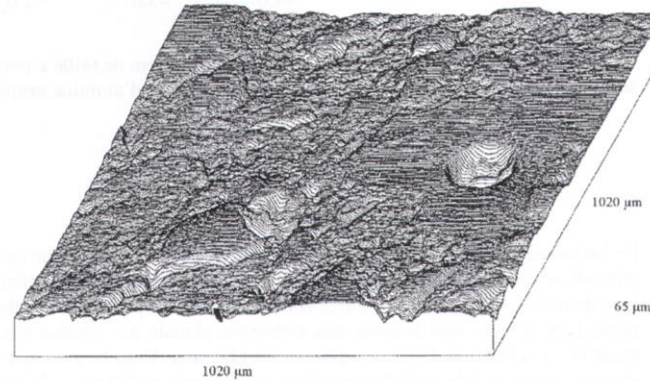
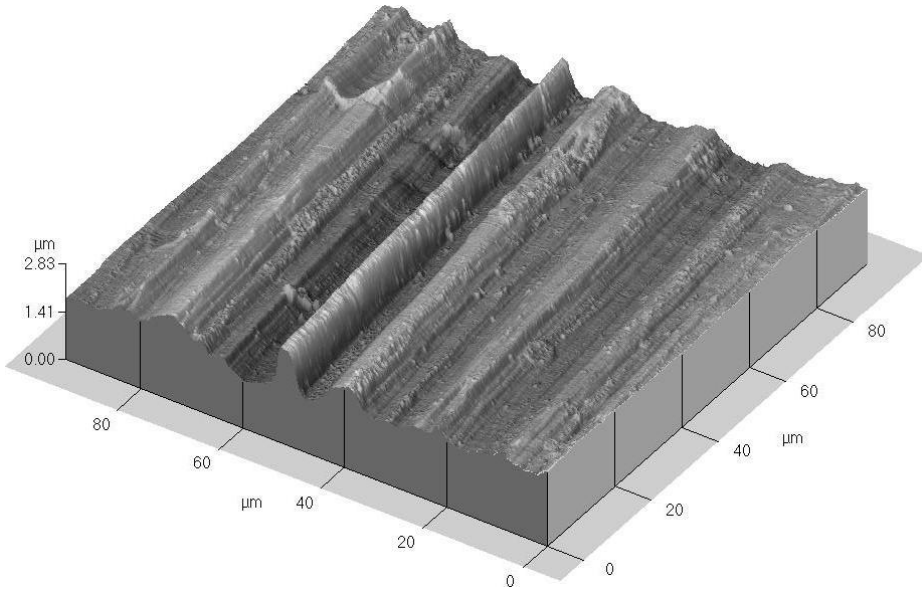


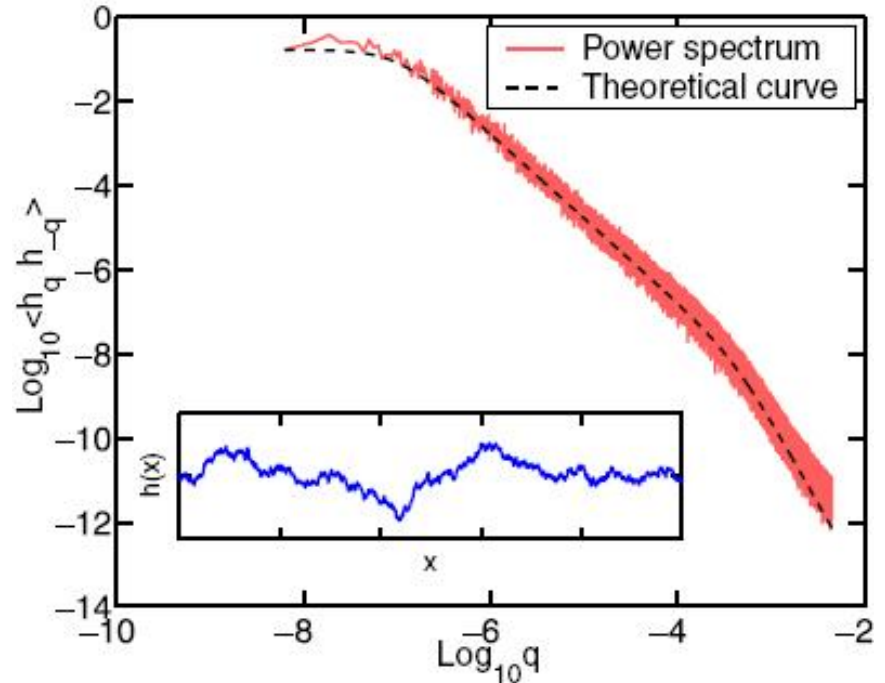
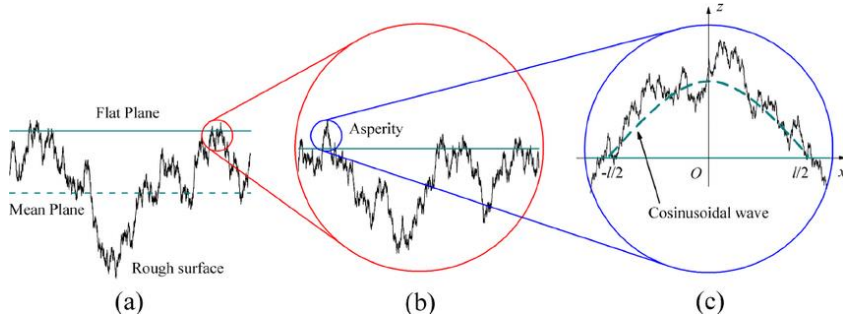
Figure 2.16: Image 3D de l'échantillon d'alumine/graphite poli avec un pas de  $4\ \mu\text{m}$



Self-Affine surfaces



$$\langle (h(x + \Delta x) - h(x))^2 \rangle \propto \Delta x^{2\zeta}$$





Laboratoire de Mécanique des Contacts et des Structures

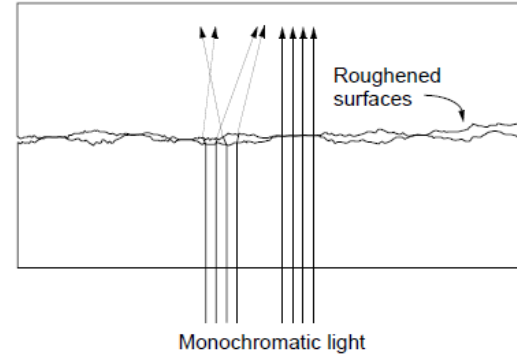
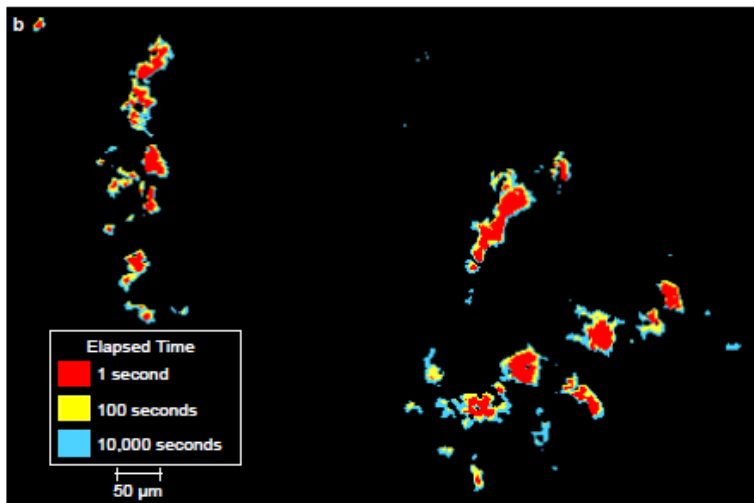
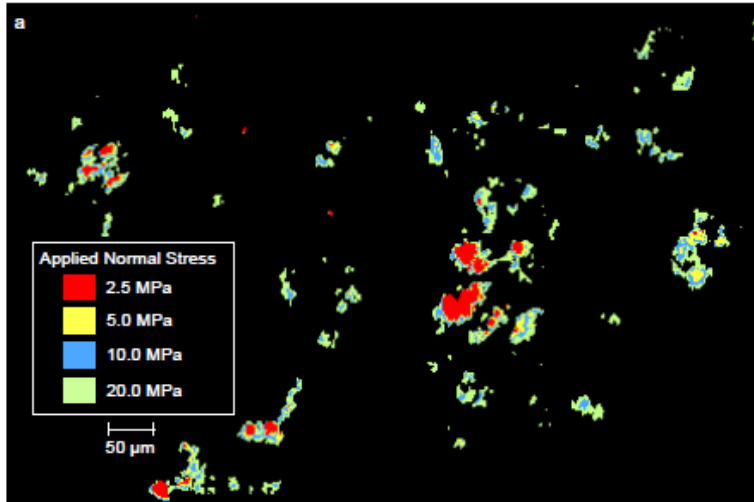
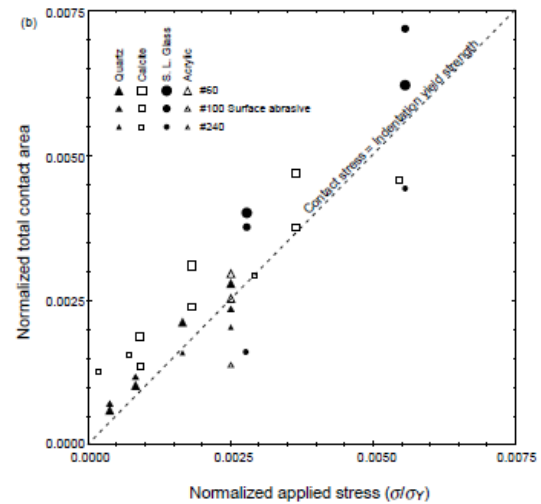


Figure 2

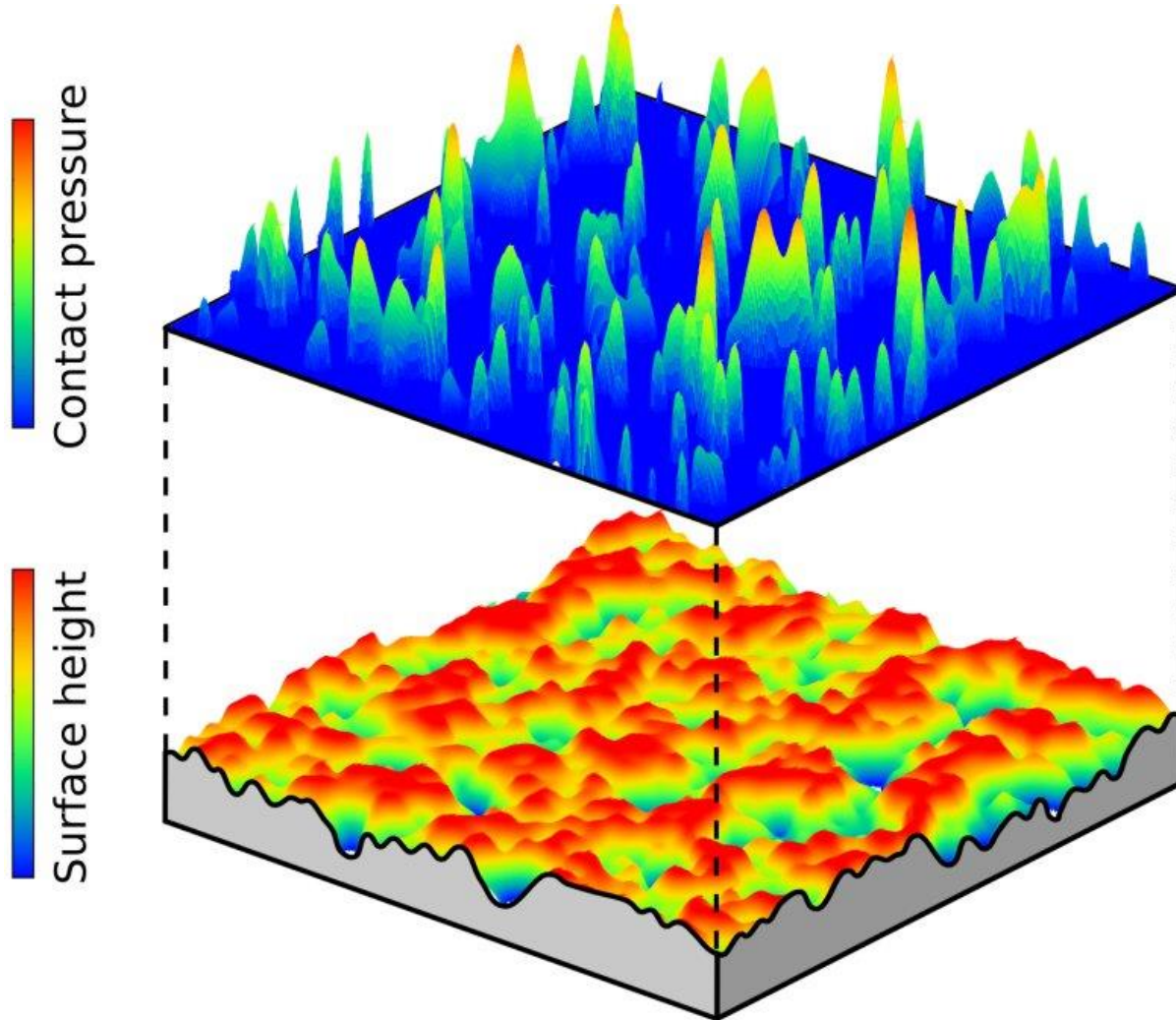
Schematic representation of roughened sliding surfaces. Light transmitted through the sliding blocks is scattered except at contacts.







Laboratoire de Mécanique des Contacts et des Structures





### Take Home Message Partie III:

Une surface réelle est rugueuse.

Il existe **plusieurs paramètres** pour caractériser la rugosité de surface:

Amplitude des aspérités vs. Corrélations spatiales entre les aspérités.

Au contact, il y a un fluage des aspérités (instationarité)